

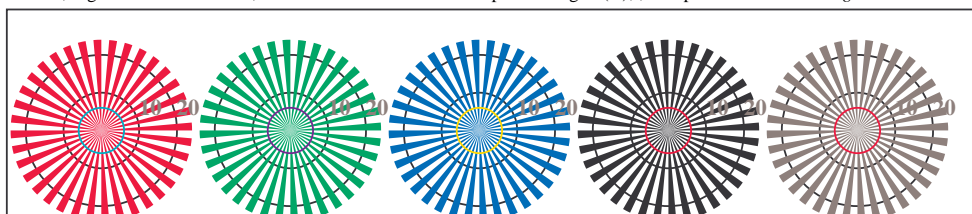
TF8601L

TUB enregistrement: 20150701-TF86/TF86L0NP.PDF /PS  
application pour la mesure des sorties sur offset, séparation cmy0 (CMY0)

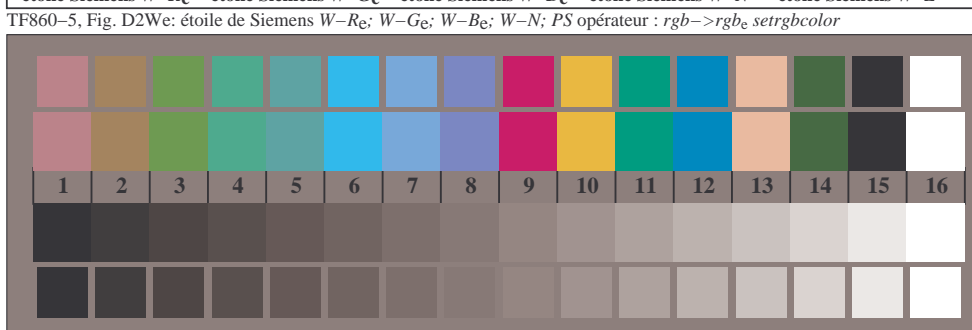
TUB matériel: code=rha4ta



voir des fichiers similaires: <http://130.149.60.45/~farbmetrik/TF86/TF86L0NP.PDF /PS>  
informations techniques: <http://www.ps.bam.de> ou <http://130.149.60.45/~farbmetrik/TF86/TF86.HTM>



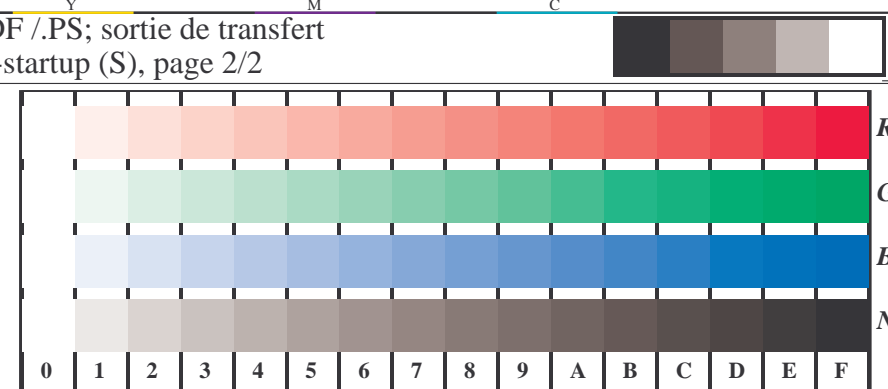
étoile Siemens W-Re étoile Siemens W-Ge étoile Siemens W-Be étoile Siemens W-N étoile Siemens W-Z



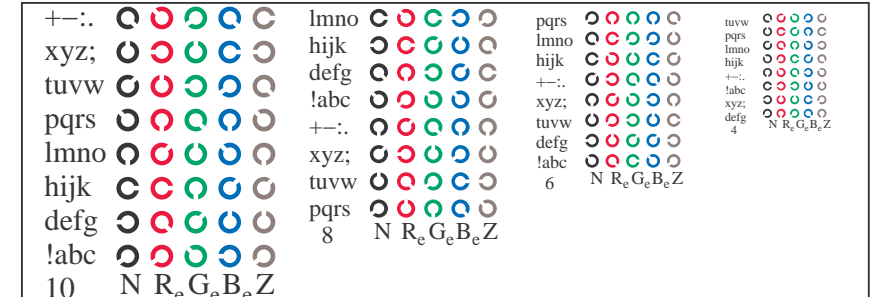
TF860-7, Fig. D3We: 14 CIE test couleurs et 2 + 16 paliers de gris (sf); PS opérateur:  $rgb/cmy0 \rightarrow rgb_e$  setrgbcolor

graphique TF86; 4(ISO/IEC 15775 + ISO/IEC TR 24705)  
chromatic graphique de test RGB, 3D=0, de=1, cmy0

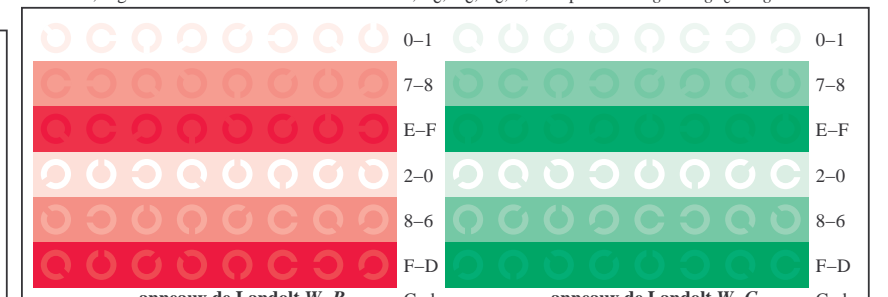
V L O Y M C  
http://130.149.60.45/~farbmetrik/TF86/TF86L0NP.PDF /PS; sortie de transfert  
N: aucun linearisation 3D (OL) dans fichier (F) ou PS-startup (S), page 2/2



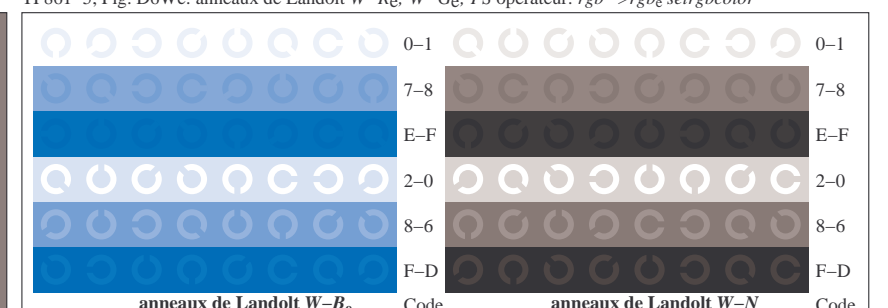
TF861-1, Fig. D4We: 16 paliers équidistants W-Re; W-Ge; W-Be; W-N;  $rgb/cmy0 \rightarrow rgb_e$  setrgbcolor



TF861-3, Fig. D5We: code et anneau de Landolt N; R\_e; G\_e; B\_e; Z; PS opérateur:  $rgb \rightarrow rgb_e$  setrgbcolor



TF861-5, Fig. D6We: anneaux de Landolt W-Re; W-Ge; PS opérateur:  $rgb \rightarrow rgb_e$  setrgbcolor



TF861-7, Fig. D7We: anneaux de Landolt W-Be; W-N; PS opérateur:  $rgb \rightarrow rgb_e$  setrgbcolor

entrée:  $rgb/cmyk \rightarrow rgb_e$   
sortie: transférer à  $cmy0_e$